

土木学会論文報告集
第316号・1981年12月

【論 文】

バスと乗用車で構成される混合交通流の基礎的特性

CHARACTERISTICS OF MIXED FLOWS CONSISTING
OF BUSES AND CARS

毛利正光*・新田保次**

By *Masamitsu MŌRI and Yasutsugu NITTA*

1. はじめに

都市部での交通工学的なバス対策として、従来、バス専用レーン、優先レーンあるいはバス感応信号等の設置が行われ、それなりの成果を挙げてきている。しかし、まだ、十分とはいえないし、効果を算定する基準も確定されているとはいがたい。特に、複数の車種によって構成されている街路で対策を実施する以上、設置効果を推定するには、混合交通流の特性を把握することが必要となろう。

そこで、本研究では、信号機、交差点の連続する街路交通流の特性把握を視野に入れつつ、当面、次のような課題を達成することを目的としている。街路交通は信号、交差点などの影響により車群を構成し、発進、自由、追従、停止走行を繰り返しながら流れている。そこで、このような交通流の総合的把握を試みる前に、交通流を車群ごとに分割し、定常走行時の車群における速度、密度、交通量の三者関連に及ぼすバス混入率の影響を把握することを第1の目的とし、次に、これらの車群によって構成される交通が流れる信号交差点のある単純な街路を想定し、シミュレーションモデル解析により、一連の走行行動を含めた交通流特性を交差点間隔、信号条件の影響を考慮して明らかにすることを目的としている。

2. 従来の研究と本研究の特徴

1934年に発表された Greenshields の研究¹⁾に端を発した交通流の重要な3要素、つまり速度、密度、交通量の相互関係についての研究は Lighthill²⁾、Richards³⁾、Greenberg⁴⁾、らによる流体力学理論の応用により理論

的な発展を遂げた。また、ほぼ同時に発表された Chandler, Herman ら⁵⁾、米谷、佐佐木⁶⁾の追従理論は Edie⁷⁾によって発展され、モデルの積分形式が Greenberg のモデルに等しいことが示された^{8)~10)}。

この Greenberg のモデルの係数決定は、乗用車を対象に多くなされ、拘束走行領域において適合性が示されたが、他車種についての研究は限られている。バス流に対する研究では、Herman ら^{11)~13)}のバス車群による実験的研究により、定常走行状態で追従理論および Greenberg 式の妥当性が明らかにされた。また、Hodgkins¹⁴⁾は現実のバス流を対象に速度、密度、交通量の相互関係を明らかにし、Greenberg 式の妥当性を示した。次に、バスと乗用車で構成される混合交通流については Growley¹⁵⁾による研究がみられる。彼は連続する2台の車の車頭時間と速度の関係を明らかにしたが、3台以上の車群は対象としていない。そこで本研究では、車種別混入率を Greenberg 式に導入し、混合交通流の一般的表現を試み、バスと乗用車で構成される交通流に対して式表現の妥当性を検証した。

次に街路交通流については、信号、交差点によって影響を受ける微視的交通特性に関する研究¹⁶⁾は多々あるとともに、特殊なケースにつきシミュレーションにより交通特性を明らかにした研究^{17)~19)}はあるが、信号、混入率などの要因により、速度、密度、交通量の相互関係を一般化した研究は見受けられないようである。この点を明らかにしようとしたことも本研究の特徴である。

3. バス混合交通流の定常走行特性

(1) 目的

本章の目的は次のとおりである。1) 単一車種を対象とした Greenberg の式に、車種別混入率を導入し、定常走行状態での混合交通流の基本式として定式化するこ

* 正会員 工博 大阪大学教授 工学部土木工学科

** 正会員 工修 大阪大学助手 工学部土木工学科

P_b と K_j を求めた(図-1)。このデータを最小自乗法により式(10)に回帰させ、次式を得た。

$$K_j = 1/\{(0.90 P_b/100 + 1)5.76 \times 10^{-3}\} \dots\dots (11)$$

ただし、 K_j (台/km)、 P_b (%)、データ数60、相関係数0.949。式(10)、(11)より、 $SJ_c=5.76$ m、 $r_b=1.90$ となつた。また、乗用車のみ($P_b=0\%$)の K_j は173.6台/kmとなり、バスのみの場合($P_b=100\%$)、91.3台/kmとなつた。なお、実測地点は大阪市営バスが滞留する国鉄大阪駅裏大鉄管理局前の交差点である。

c) 臨界速度 V_m の決定

臨界速度は最大交通量を得るときの速度と定義されている。最大交通量は従来の容量に関する研究⁹⁾によると道路要因(車線幅、側方余裕幅、路面状態、線形など)、交通要因(大型車、車線分布など)により変化するとされている。ここで式(1)、(2)が道路要因、交通要因の変化にかかわらず成立するとすると、これらの要因は式のどの部分に影響を及ぼすのか考えてみよう。最大交通量(Q_{max})は式(1)、(2)より $Q_{max}=K_j V_m/e$ となる。よって Q_{max} の変化は K_j 、 V_m の一方が両方に影響を与えるものと推測される。ここでは、これらの要因のうちバス混入率のみについて考えることにした。そのため、道路条件がほぼ等しい表-1に示す測定地点を選択した。すでに K_j について示したので、ここでは V_m について検討する。

バス混入率と V_m の関係を図-2に示した。Hodgkins¹⁴⁾は $P_b=0$ と 100%につき V_m を求めているが、この場合、いずれも同一値を示した。Crowley¹⁵⁾のデータでは、 $P_b=0$ と 50% が同一値、100%ではこれより 1.5 m/sほど低い V_m を示した。本研究の実測結果(図-6)では、 $P_b=0, 20, 60\%$ でそれぞれ 10, 8, 9 m/sとなつた。以上の結果から、混入率にかかわらず V_m を一定とおくと、精度上、粗くなる危険性があるが、 V_m の変動について明確な傾向を判断できない以上、ここでは混入率にかかわらず V_m を一定とおき、以下の方法で求めた V_m を理論式に代入し、その式が実測値

表-1 測定地点の道路条件

| 道 路 条 件 | 測 定 地 点 | |
|-----------|-------------------------------|-----------|
| | 長 桥 橋 | 小 林 町 |
| 車 線 数 | 片 側 3 車 線 | 片 側 3 車 線 |
| 測定車線の幅員 | 外 側 車 線 3.3 m 中・内側車線 2.8 m | 5.1 m |
| 側 方 余 裕 幅 | 0 m | 0 m |
| 付 加、織込車線 | 無 | 無 |
| 路 面 状 態 | 良 アスファルト | 良 アスファルト |
| 線 形 | 直 線 | 直 線 |
| 勾 配 | 0 | 0 |
| 沿 道 条 件 | 流 入 な し | 流 入 な し |

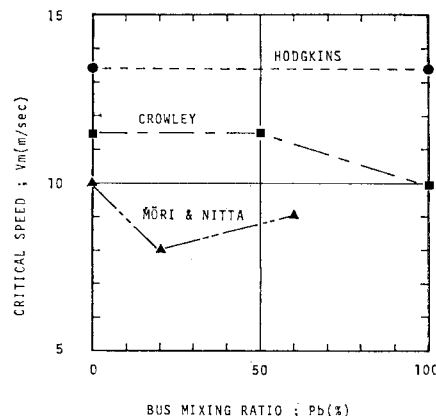


図-2 バス混入率と臨界速度の関係

と適合するかどうかによって $V_m=$ 一定の妥当性をみるとした。そこで、データ数の最も多い乗用車の場合の V_m を求めるにした。方法と結果を次に示す。

i) $Q-V$ 関係のデータから直接求める方法

V_m は Q_{max} を示すときの速度である。 $Q-V$ 関係の実測値(図-6)より V_m を求めると、10 m/sとなつた。なお、このとき Q_{max} は 2300 台/時であった。

ii) $V-K$ 回帰式から求める方法

実測値 V 、 K (図-4)に式(1)を回帰させ、 V_m を求めると 9.6 m/s となつた。

iii) Q_{max} 、 SJ_c から求める方法

式(1)、(2)より Q_{max} を記録するときの V_m は $eSJ_c Q_{max}$ である。ここで $SJ_c=5.76$ m、 $Q_{max}=2300$ 台/時であるので $V_m=10.0$ m/s となつた。

以上より、 $V_m=10$ m/sとした。なお、臨界密度(K_m)は式(1)より、 $K_m=K_j/e$ である。混入率に応じた K_m は式(11)を K_j に代入することによって求まる。ちなみに、 $V_m=10$ m/sのときの、 $P_b=0, 20, 60, 100\%$ での K_m はそれぞれ、64, 54, 41, 34 台/km となつた(図-4)。

d) ま と め

求めた K_j 、 V_m を式(1)、(2)、(10)に代入し、バス混合交通流の基本式を次式のように得た。

$$\left. \begin{aligned} V &= 10 \ln(K_j/K) \\ K_j &= 1/\{(0.90 P_b/100 + 1)5.76 \times 10^{-3}\} \\ Q &= 3.6 V K \end{aligned} \right\} \dots\dots (12)$$

ただし、速度、密度、交通量、混入率の単位は、それぞれ m/秒、台/km、台/時、% である。

(4) 基本式と実測値の比較検討

a) 実測値の求め方

混合交通流基本式の検証には定常走行状態における速度、密度(車頭間隔)、交通量、バス混入率のデータが

必要である。このため、表-1に示す平坦、直線、片側2車線以上、交通量もバス本数も多く、かつ、定常走行を維持できるなどの交通条件を備えている場所を測定地点として選定した。この地点における交通流を8ミリカメラによって撮影し、次に示す方法によって速度、密度、交通量、バス混入率を算定した。このとき、対象とした交通流は限界車頭時間7秒以下¹⁴⁾の車群であり、また、測定区間長は速度の誤差が1km/時以下になるよう決定した²⁰⁾。

速度は測定区間を通過する車群の所要時間により空間平均速度として計算され、あわせて車群内車両の平均車頭間隔が求められた。密度は平均車頭間隔の逆数とした。混入率は車群内総台数でバス台数を除すことによって求めた。交通量は次式¹⁴⁾によって計算した。

ただし、

Q ：1時間当たり交通量

n : 車群内車両数

t : 車群がある地点を通過するに要する時間)

ただし、1秒間 12 ヨヌのヨヌ数である

$$43200 : 3600 \text{ 秒} \times 12 \text{ コマ}$$

b) 基本式と実測値の比較

乗用車のみの場合の各車群についての密度と速度の実測値を図-3に示した。各密度領域にわたり速度の変動がみられるものの負の相関関係が示されている。このデータを密度10台/kmの範囲ごとに集め、5個以上のデータを有する場合のみ空間平均速度を求め、 $K-V$ 関係を示したのが図-4の $P_b=0\%$ のときの実測値である。また同図に、同じ方法で求めた $P_b=100\%$, $0 < P_b \leq 40\%$, $40 < P_b \leq 80\%$ のときの実測値を示した。そして、 $0 < P \leq 40\%$, $40 < P_b \leq 80\%$ の代表値をそれぞれ、20%, 60%とし、あわせて0%, 100%について4

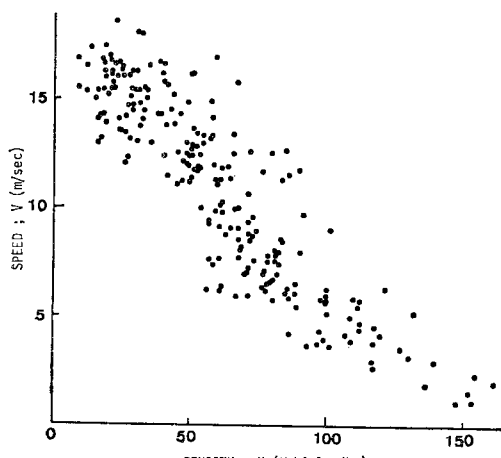


図-3 密度と速度の比

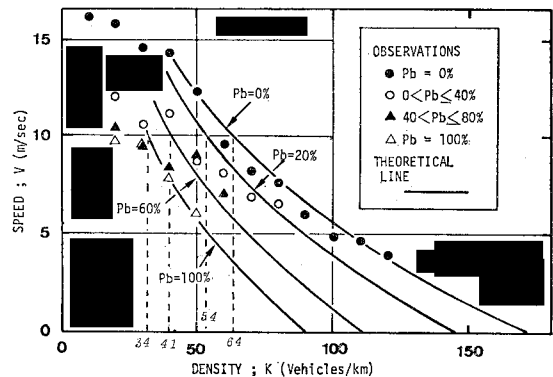


図-4 密度と速度

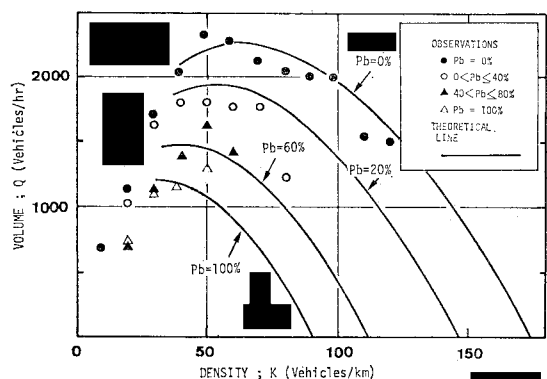


図-5 密度と交通量

種類の P_b 値を式 (12) に代入して求めた基本式の適合性を、図-4 より判断すると次のことがいえよう。

$P_b=0\%$ の場合、密度 40 台/km 以上で基本式はよく適合している。 $P_b=100\%$ では 30 台/km 以上で比較的よく適合している。 $P_b=20, 60\%$ ではよく適合しているとはいいがたいが、混入率ごとに層別に速度が低減している傾向がうかがわれる。データ数の比較的豊富な $P_b=0, 100\%$ のケースにおいて基本式がよい適合性を示したことは、その間の混入率の段階でのデータ数を豊富にすれば層別に分離していることの判明の段階から一步、基本式のよい適合性を示す段階に近づくものと思われる。

交通量と密度の関係は図-5に示すようであった。図-4の場合と同様に密度10台/kmの範囲ごとに5個以上のデータにつき交通量の平均値を求めた。 $P_b=0\%$ では $K \geq 40$ において基本式は比較的よく適合しているが、実測値はおむね低い値を示した。 $P_b=20, 60\%$ では混入率による層別の分離は $K-V$ 関係と同様に明確に現われた。

交通量と速度の関係は図-6に示すように、速度の全領域にわたり交通量は基本式より低く出るもの、混入率ごとに異常に分布していることがうかがわれる。

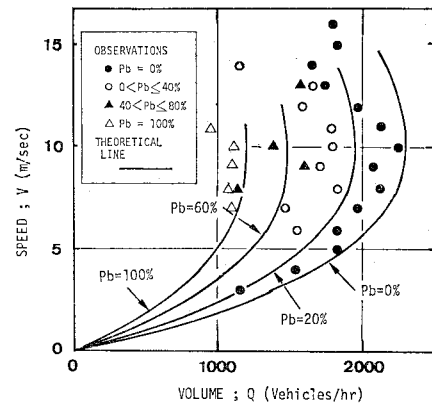


図-6 交通量と速度

このように、密度が30~40以上の領域において、基本式はK-V関係において比較的よい適合性を示すものの、Q-K、Q-V関係においてはQの実測値が理論値よりおおむね低い値を示し十分な適合性とはいえない。しかし、各ケースとも混入率ごとに実測値が分離している傾向は明確に現われ、基本式の性格を実証したものとなった。なお、 $K < 30 \sim 40$ の領域では、基本式は適用領域外であり、図-4で示したように、直線式など、別の式表現を考える必要があろう。

4. 単純街路交通流の基礎的特性

本章では前章での成果を引き継ぎ、信号交差点を含む街路での交通流特性をシミュレーションモデルにより把握することを試みた。具体的には、バス、乗用車で構成されるそれぞれの交通流につき、速度と密度の関係を信号交差点間隔、信号周期、青時間比の変化との関連で追求している。なお、本モデルでは定常流における拘束走行領域に対応する台数を街路上に配置し、この密度状態においては追い越しは考えないものとした。

(1) シミュレーションの方法

a) 概要

高田の方法²¹⁾を参考にリング状の街路モデルを考えた(図-7)。この街路上に等間隔に同時式信号機を設置し、車両数を信号区間ごとに等配分し信号機の後に停止状態で配車した。そして青現示とともに1秒の反応遅れでスタートさせ、0.2秒ごとにランさせ表-2に示す車の属性を計算させた。

車の走行状態については、発進、自由、追従、停止走行の4モ

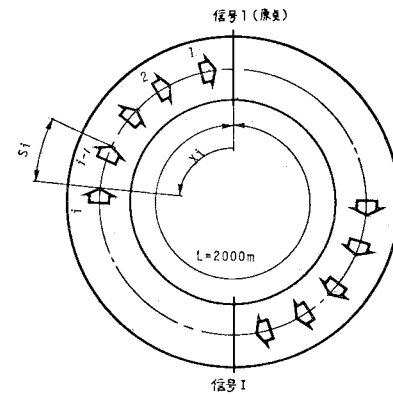


図-7 街路モデル

表-3 シミュレーションの各ケース

| | | | | | | |
|----------------------|-----|-----|-----|-----|-----|-----|
| 密 度 (vehicles/km) | CAR | 60 | 80 | 100 | 120 | 140 |
| | BUS | 40 | 50 | 60 | 70 | 80 |
| 交 差 点 間 隔 (m) | | 500 | 400 | 250 | 200 | 100 |
| 信 号 周 期 (s) | | 120 | 80 | 60 | -- | -- |
| 青 時 間 比 | | 2/3 | 1/2 | 1/3 | -- | -- |

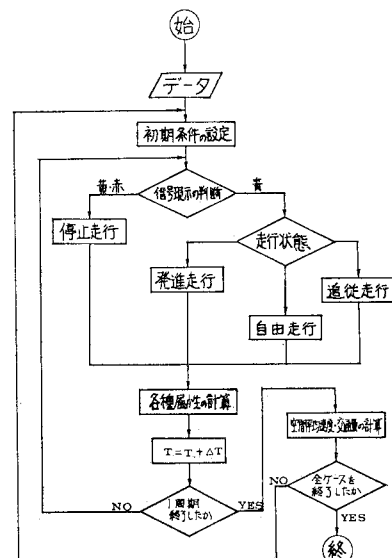


図-8 シミュレーションモデルのフロー図

デルを考えた。追従限界車頭時間は乗用車7秒^{14),21)}、バス5秒^{注1)}とした。希望速度は乗用車50km/時、バス40km/時と一率に設定した。信号が青から黄になると停止走行に移るが、最大減速度をもってしても交差点を通過する車はそのまま走行させた。そして、赤時間の間にすべての車はジャム状態で停止するとした。そして、密度、交差点間隔、信号周期の各ケース(表-3)ごとに空間平均速度を算出した。なお、フロー図を図-8に示す。

注 1) 大型トラックの限界車頭時間がおおむね5秒²⁰⁾であるので、この値をバスに使った。

表-2 車の属性

| | |
|----|---------------|
| 1 | 位 置 座 表 |
| 2 | 希 望 速 度 |
| 3 | 車 頭 間 隔 |
| 4 | 車 頭 時 間 |
| 5 | 加 減 速 度 |
| 6 | 瞬 間 速 度 |
| 7 | 瞬 間 走 行 距 離 |
| 8 | 総 走 行 距 離 |
| 9 | 原 点 通 過 回 数 |
| 10 | 存 在 信 号 区 間 |
| 11 | 信 号 区 間 内 順 位 |

した。

b) 発進走行モデル

信号が赤で停止している車が青になり発進し、徐々に速度を上げていく過程を把握するためには、前車が発進したのち自分の車が発進するまでの反応遅れと、発進後の時間経過と速度の関係を求める必要がある。そのため実測によりこれらを求め、モデル化した。

反応遅れは、信号交差点に停止している車群を対象にストップウォッチにより測定した。図-9に示すように最頻値1.0秒、平均値1.3秒となった。そこで、モデルでは反応遅れを1秒とし、この反応遅れでもって順番に先頭車から発進させることにした。

発進後の経過時間と速度の関係については、乗用車の場合、次の方法で求めた。交差点流入部の測定区間にに入る車を8ミリカメラにより撮影し、各車の速度と発進後の経過時間を求め、車両順位ごとに速度と経過時間を平均化し、両者の回帰式を求めた。図-10に実測値と回帰式を示したが、回帰式は原点を通過するようにした。

バスの場合は、8ミリカメラにより追跡撮影することにより走行時間と走行距離を求め、走行距離ごとに時間の平均値と空間平均速度を求め、図-10に示す実測値

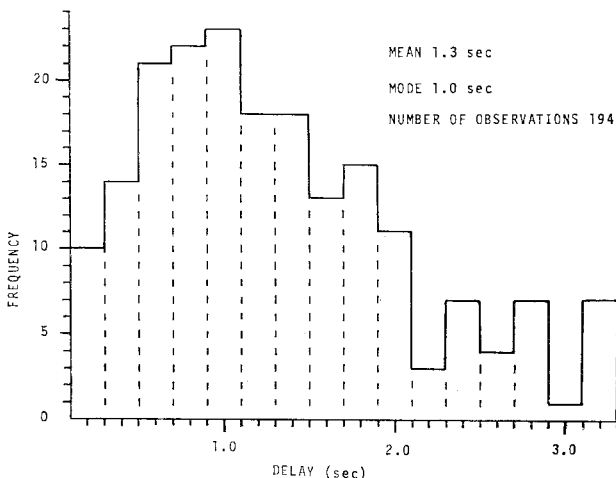


図-9 発進時の反応遅れの頻度分布

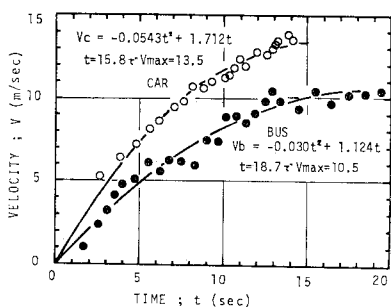


図-10 発進時の速度変化

と原点を通る回帰式を得た。

以上の回帰式をもとに、希望速度にモデル式の上限を一致させるよう修正して、次のモデル式を設定した。

$$\begin{aligned} \text{乗用車 } V_C &= -0.054 t^2 + 1.74 t \quad (0 \leq t \leq 16.0) \\ \text{バス } V_B &= -0.030 t^2 + 1.16 t \quad (0 \leq t \leq 20.0) \end{aligned} \quad \dots \quad (14)$$

ただし、

V_C, V_B ：乗用車、バスの速度 (m/秒)

t ：発進後の走行時間 (秒)

c) 自由走行モデル

自由走行とは発進走行を終了し、車頭時間が限界車頭時間より大きい場合の走行状態と定義した。そして、速度が希望速度と等しい場合はそのままの速度を維持し、希望速度より小なる場合は次式に示す加速度を有し希望速度に近づくものとした注2)。

$$\text{乗用車 } \alpha_C = 0.6 \{4.2 - (3.6 V/28.5)\}/3.6 \quad \dots \quad (15)$$

$$\text{バス } \alpha_B = 0.5 \alpha_C \quad \dots \quad (16)$$

d) 追従走行モデル

車頭時間が限界車頭時間以下になると追従走行を行う。この状態をモデル化したのが追従走行モデルである。この場合、次の3ケースを考えた。i) 追従車の速度が被追従車の速度より大きく、追従車の車頭間隔が被追従車の速度に応じた追従車頭間隔より大きい場合、ii) 追従車の速度が被追従車の速度より大きくなり、追従車の車頭間隔が被追従車の速度に応じた追従車頭間隔より小なる場合、iii) 追従車の速度が被追従車の速度より小さい場合。そして各ケースにつき、次のような定式化をした。

• ケース i) について：高田の次式²¹⁾を採用した。

$$\begin{aligned} v(I) &= V(I) - (V(I) - v(I-1)) \{\ln S(I) \\ &\quad - \ln(V(I) T_m)\} / \{\ln d(I)\} \\ &\quad - \ln(V(I) T_m)\} \quad \dots \quad (17) \end{aligned}$$

ただし、

$$V(I) T_m \geq S(I) \geq d(I)$$

$V(I)$ ：追従車の初期速度 (m/秒)

$v(I-1)$ ：被追従車の初期速度 (m/秒)

T_m ：追従車の限界車頭時間 (秒)

$S(I)$ ：追従車の車頭間隔 (m)

$d(I)$ ：追従車頭間隔 (m)

• ケース ii), iii) について：車頭間隔に応じた速度を追従車は有することにした。3. で求めた式 (12) は密度

注 2) 乗用車の場合、高田²¹⁾の 1500 cc クラスの追越時の速度と加速度の関係式を使った。バスの場合は、本節

b) での実測結果から発進加速度がほぼ乗用車の 1/2 であるのでこのようにした。

が乗用車の場合、約 40 台/km、バスで 30 台/km 以上に適用されるものであった。そして、測定対象となった道路の制限速度は、乗用車 50 km/時、バス 40 km/時であった。ここでの実測結果は図-4 に示したように、密度 0 のときの速度つまり希望速度とみなされるものが、乗用車で約 10 km/時、制限速度を超え、バスは制限速度を守っているということを示した。そこで、ここでは制限速度 40 km/時 の道路を対象としているので、希望速度を乗用車 50 km/時 (13.9 m/秒)、バス 40 km/時 (11.1 m/秒) と仮定し、式 (12) が適用される密度領域より小なる領域における $K-V$ 関係式は直線式で示した。ただ、乗用車の場合、 $K \geq 40$ で式 (12) を採用すると、 $K=40$ すでに希望速度を上回るので、 $K \geq 50$ で用いることにした。

・乗用車の場合

$K < 50$ 台/km ($S > 20$ m)

$K \geq 50$ 台/km ($S \leq 20$ m)

$$V=10.0 \ln(S/5.76) \dots \dots (19)$$

• バスの場合

$K < 30 \text{ 台}/\text{km}$ ($S > 33.3 \text{ m}$)

$K \geq 30$ 台/km ($S \leq 33.3$ m)

$$V = 10.0 \ln(S/10.95) \dots \dots (21)$$

ただし、

V ：速度（m/秒）

S ：車頭間隔 (m)

e) 停止走行モデル

信号が黄になると、各車について信号区間内での順位とジャム車頭間隔から停止位置が予測され、その位置に停止するに必要となる減速度が計算される。そして最大減速度（-2.9 m/s²）より小さければ信号を通過するものとした。減速度は次式で求めた。

卷之三

β : 減速度 (m/秒²)

V : 減速直前の速度 (m/秒)

X: 減速開始前の位置と停止位置までの距離(m)

(2) 結 果

交差点間隔 (L)、信号条件 (周期 TS 、青時間 TB 、青時間比 $r=TB/TS$) の変化による速度と密度との関係の変化をシミュレーション結果から考察した。

お、密度は乗用車の場合、60, 80, 100, 120, 140 台/km の 5 ケース、バスの場合、40, 50, 60, 70, 80 台/km の 5 ケースを考えた。このとき、図-7 に示すリング長 2 000 m の街路モデル上に密度の 2 倍に相当する車両を配置し、同一方向に走行させることにした。そして、それぞれの密度ケースに応じて、信号 1 周期当たりの各車の走行距離の総和を求め、車両数と周期長で除すことによって、1 台当たりの空間平均速度を求めた。

まず、乗用車についてみてみよう。図-11に $TS = 120$ 秒, $TB = 80$ 秒, $r = 2/3$ のケースにおける L の変化による $K-V$ 関係の状況を示したが、各密度ケースにおいて、 L の違いによる速度の差異は大きくなく、たかだか 0.8 m/s であった。また、他の信号条件においても同様であった。次に、 L を固定した場合の信号条件の影響を調べた。図-12に一例として $L = 500 \text{ m}$ の場合を示した、これより τ の影響が強いことが判明した。

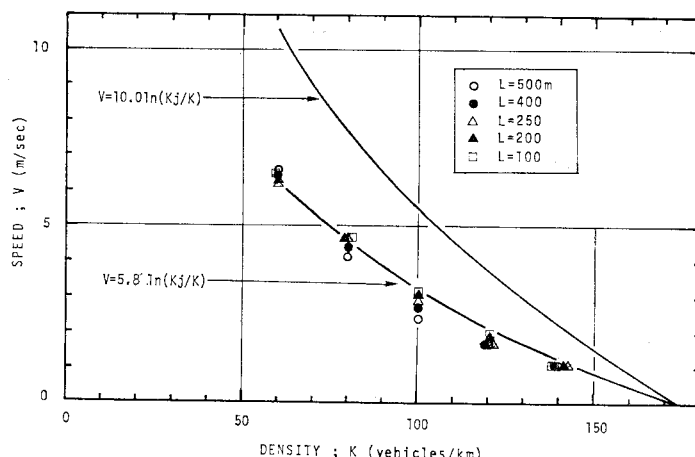


図-11 乗用車の交差点間隔による $K-V$ 関係の変化
(ただし, $TS=120$, $TB=80$, $r=2/3$ の場合)

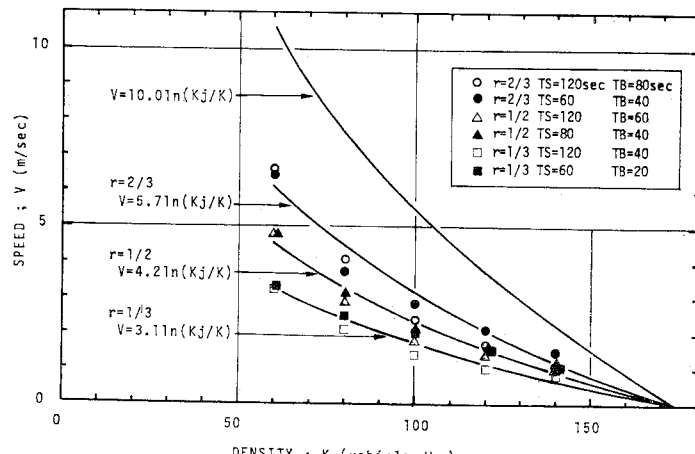


図-12 乗用車の信号条件の変化による $K-V$ 関係の変化 ($J=500$ の場合)

た、他の L のケースについても同様であった。

次に、交差点間隔、信号条件の各ケースごとに、シミュレーションによる K , V 値を使い、 $V = a \ln K_j/K$ に回帰させ係数 a を求め、この比較により交差点間隔、信号条件の影響をみることにした。なお、ここでは $K-V$ 式に対数曲線をあてはめたが、これは次の理由による。

図-11, 12 から判断して直線式より対数曲線の方が $K-V$ のシミュレーション値によく適合する。また、定常走行時には Greenberg 式がよく適合することが示されたが、できれば街路交通においてもこの式の型（対数式）で表現した方がわかりやすい、といった点である。

表-4 に示すように、 L による影響は小さく、 r による影響が強いことが判明した。そこで、 a の要因として r をとり、一次式に回帰させたところ、 $a = 8.4r$ となり、相関係数は 0.985 と高い値を示した。

バスについても同様な分析をしたところ、 L による影響が $K=50$ で顕著に現われた点を除いては、乗用車と同様な傾向を示した(図-13, 14)。そこで、 L, r を説明変数として回帰式を求めたところ、 $a = 0.0043 L + 10.4 r - 1.0$ となり、重相関係数は 0.992 と高い値を示した。

以上の分析結果をまとめると次のようになると思われ

表-4 交差点間隔、信号条件の各ケースにおける a 値

| <i>L</i> (m) | <i>TS</i> (s) | <i>TB</i> (s) | <i>r</i> = <i>TB/TS</i> | <i>a</i> (CAR) | <i>a</i> (BUS) |
|--------------|---------------|---------------|-------------------------|----------------|----------------|
| 500 | 120 | 80 | 2/3 | 5.59 | 8.11 |
| 500 | 60 | 40 | 2/3 | 5.73 | 8.62 |
| 500 | 120 | 60 | 1/2 | 4.09 | 6.06 |
| 500 | 80 | 40 | 1/2 | 4.29 | 6.44 |
| 500 | 120 | 40 | 1/3 | 2.86 | 4.33 |
| 500 | 60 | 20 | 1/3 | 3.30 | 4.48 |
| 400 | 120 | 80 | 2/3 | 5.67 | 7.76 |
| 400 | 60 | 40 | 2/3 | 5.59 | 7.78 |
| 400 | 120 | 60 | 1/2 | 4.11 | 5.92 |
| 400 | 80 | 40 | 1/2 | 4.21 | 5.83 |
| 400 | 120 | 40 | 1/3 | 2.79 | 3.86 |
| 400 | 60 | 20 | 1/3 | 3.24 | 4.32 |
| 250 | 120 | 80 | 2/3 | 5.73 | — |
| 250 | 60 | 40 | 2/3 | 5.25 | — |
| 250 | 120 | 60 | 1/2 | 4.16 | — |
| 250 | 80 | 40 | 1/2 | 3.95 | — |
| 250 | 120 | 40 | 1/3 | 2.62 | — |
| 250 | 60 | 20 | 1/3 | 2.87 | — |
| 200 | 120 | 80 | 2/3 | 5.86 | 6.87 |
| 200 | 60 | 40 | 2/3 | 5.38 | 6.64 |
| 200 | 120 | 60 | 1/2 | 4.24 | 4.92 |
| 200 | 80 | 40 | 1/2 | 4.06 | 5.01 |
| 200 | 120 | 40 | 1/3 | 2.67 | 3.31 |
| 200 | 60 | 20 | 1/3 | 2.57 | 3.60 |
| 100 | 120 | 80 | 2/3 | 6.00 | 6.22 |
| 100 | 60 | 40 | 2/3 | 5.56 | 6.24 |
| 100 | 120 | 60 | 1/2 | 4.34 | 4.48 |
| 100 | 80 | 40 | 1/2 | 4.22 | 4.73 |
| 100 | 120 | 40 | 1/3 | 2.76 | 3.09 |
| 100 | 60 | 20 | 1/3 | 2.52 | 3.21 |

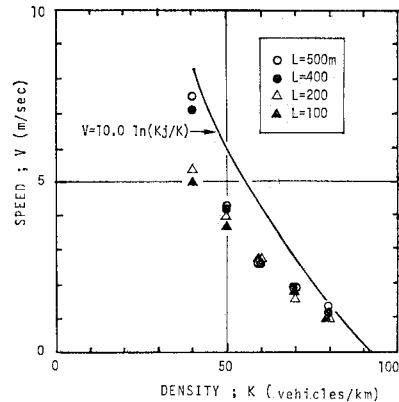


図-13 バスの交差点間隔による $K-V$ 関係の変化
($TS=120$, $TB=80$, $r=2/3$ の場合)

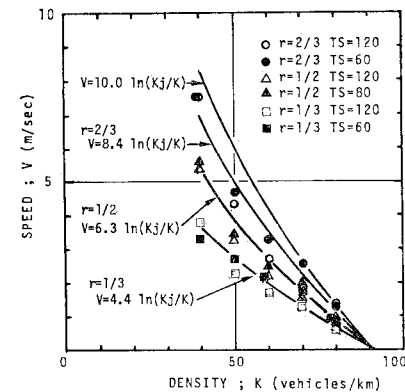


図-14 バスの信号条件による $K-V$ 関係の変化
($L=500$ の場合)

20

5. 表と線

拘束走行領域における定常走行状態の混合交通流基本式を、Greenberg 式に混入率を導入し導き検証した。その結果、バス混入率 0, 100%において定性的にも定量的にも基本式の妥当性を示し得た。これらの間の混入率については、実測値に混入率ごとの層別の分離傾向が現

われ、基本式の定性的妥当性を示し得、定量的妥当性を予測するものとなった。

次に、これらの成果を単純な街路交通シミュレーションモデルの一部として組み込み、加えて、発進、自由、追従、停止走行をモデル化し、乗用車、バスを対象に交差点間隔、信号条件による影響を $K-V$ 関係において把握したところ、乗用車においては青時間比、バスにおいては加えて交差点間隔によって強く影響されることが判明した。このとき、 $K-V$ 関係を $V=a \ln(K_j/K)$ で表わし、係数 a と上記要因との関係を調べたところ、線形関係でよく説明し得た。

このように、定常状態での混合交通流、仮定された街路における交通流の $K-V$ 関係は $V=a \ln(K_j/K)$ の形式で統一的に表現され、それぞれの交通流特性の差異の要因である混入率は K_j に、道路、信号条件は a に説明変数として組み込まれることを示した。

今後は現実の街路においてさらに検証を深めるとともに、実用的な一般街路交通流基本式として一般化する必要があろう。また、交通量との関係においては適合性が十分でなかったのでこの点も考慮する必要がある。

最後にデータ収集、解析に尽力して下さった中平明憲氏（都市科学研究所）、松葉祥典氏（豊中市）、松本恭明氏（関西電力）に謝意を表する次第です。

参考文献

- 1) Greenshields, B.D.: A Study of highway capacity, Highway Res. Board Proc., Vol. 14, 1934.
- 2) Lighthill, M.J.: A theory of traffic flow on long crowded roads, Proc. Roy. Soc., Vol. 229, No. 1178, 1955.
- 3) Richards, P.I.: Shock waves on the highway, Operations Res., Vol. 4, No. 1, 1956.
- 4) Greenberg, H.: An analysis of traffic flow, Jr. Opns. Res. Soc. of America, Vol. 7, No. 1, 1959.
- 5) Chandler, R.E., R. Herman and E.W. Montroll: Traffic Dynamics: Studies in car following, Jr. Opns. Res. Soc. of America, Vol. 6, No. 2, 1958.
- 6) Kometani, E. and T. Sasaki: On the stability of traffic flow, Jr. Opns. Res. Soc. of Japan, Vol. 6, No. 2, 1958.
- 7) Edie, L.C.: Car following and steady-state theory for non-congested traffic, Tunnel Traffic Capacity Study Report VI, Port of Newyork Authority, May, 1960.
- 8) M. ウォール、B.V. マーチン著（加藤 晃・山根 益訳）：計画者と技術者のための交通工学（下），鹿島出版会，pp. 8~31, 1973.
- 9) 交通工学会編：交通工学ハンドブック，技報堂，pp. 143~171, 1974.
- 10) 高田 弘：交通容量、技術書院, pp. 17~20, 1974.
- 11) Rothery, R., R. Silver and R. Herman: Analysis of experiments on single-lane bus flow, Opns. Res., Vol. 12, No. 6, 1964.
- 12) Herman, R., T. Lam and R. Rothery: Further studies on single-lane bus flow: Transient characteristics, Trans. Sci. Vol. 4, No. 2, 1970.
- 13) Herman, R., T. Lam and R. Rothery: Experiments on bus platoon dynamics, Traf. Eng.+Cont., Vol. 12, No. 12, 1971.
- 14) Hodgkins, E.A.: Effect of buses on freeway capacity, Highway Research Record, 59, 1965.
- 15) Crowley, K.W.: An analysis of car-bus relationships in the Lincoln Tunnel, Traf. Eng., Vol. 33, No. 12, 1963.
- 16) 交通工学会編：平面交差点の計画と設計、交通工学会, 1977.
- 17) 西川禪一・板倉秀清・宇土顕彦：バス運行の改善を目的とする街路交通流シミュレーション、交通工学, Vol. 10, No. 4, 1975.
- 18) 池之上慶一郎・斎藤 威・花堂紘之：平面交差点の交通流シミュレーション、科学警察研究所報告交通編, Vol. 15, No. 1, 1974.
- 19) 池之上慶一郎・斎藤 威・花堂紘之：街路交通流のネットワークシミュレーション（第2報）、科学警察研究所報告交通編, Vol. 15, No. 1, 1974.
- 20) 米谷栄二・渡辺新三・毛利正光：交通工学、国民科学社, 1970.
- 21) 高田 弘：電子計算機を利用したシミュレーションによる道路交通流の解析、土木学会論文集, No. 124, 1965.

(1980.6.13・受付)